

Shigemi Inagaki

National Laboratory for High Energy Physics

ABSTRACT

A new coupled cavity structure-coaxial coupled cavity (CCC) structure—is proposed. The washer of CCC has thicker outer rim than that of disk-and-washer (DAW) cavity. In compensation the disks are removed from the inner surface of the cylinder. Both accelerating and coupling mode can be made confluent in π -mode operation (The mode is defined here by the phase shift in a geometrical period). SUPERFISH calculation shows that the effective shunt impedance is around 30 Mohm/m for beta = 1 and 500 MHz cavity.

「DAW構造から diskを取り除くことができるか?」と云ふ問題に対しては、「DAWと何が?」かと云ふ問題に答ければなり。これは $\pi/2$ -node disk loaded waveguide から biperiodic structure, side coupled cavity structure を経て発展した T_2 cell 間結合の大まき effective shunt impedance の高い加速室間に述べたが如く (Fig. 1(a))。 $\pi/2$ -mode が T_2 cell に生じる点で $V_g \neq 0$ であるが coupling が大きくなるために、mechanical error + beam loading に対する安定性が悪くなる。 T_2 cavity 表面積の減少は power loss の減少を意味し、高い effective shunt impedance を得た結果となる。有限な $\pi/2$ -mode の V_g が得られ cavity の安定化 (stabilize) と $\pi/2$ mode の特性 (boundary position, 周期周波数) が同一の共振周波数をもつ (confluent) ことは補償 (compensate) されることは得られないが、confluence, stabilization, compensation は同一意味を用いるべき。

T_2 が、2, 2 = 2° IF disk を取り去り、 T_2 とき、 $\pi/2$ と T_2 との compensation が可能となるか。この時 effective shunt impedance は $\pi/2$ と T_2 の問題に依る。TRISTAN 用 Main Ring, Accumulator Ring と T_2 cavity の T_2 cell で構成された予定であるが、2983 個の小数 cell で T_2 と compensation が必要な T_2 は検討中である。

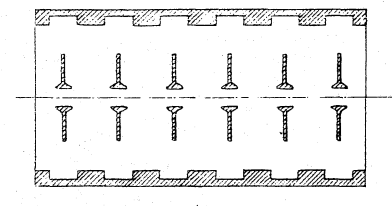
TRISTAN 用 DAW cavity の dimension は SUPERFISH 用の $\beta = 1.0$, $F = 500$ MHz, $R_c = 5$ cm とする条件、下の最適化が行われた。無限 cell に対する $\theta_0 = 1/3200$, $Z_{eff} = 44.8$ Mohm/m が得られた。この時 $R_c = 45.45$ cm, $R_d = 40.25$ cm で $R_c = 2.2 R_d$ は bore radius, R_c は cavity radius, R_d は disk radius を表す。この直徑 1 m 近くの内筒内壁にはひだ等の付属製作費がかかるが、工作上からも様子が問題となる。この研究にて、軸機械等、特に 加速器と結合する際の電界分布を Fig. 2 に示す。

下べる dimension を同じ T_2 に取ると、上記 cavity から disk を除いた時の電界分布を Fig. 3 に示す。この時、加速モードと結合モードの周波数は $\pi/2$ で 494.4 MHz 不足の 557.0 MHz である。この周波数のずれを compensate する方法は、washer の周縁部が Fig. 1(b) のよう T_2 構造の厚さを、右側で 2 倍である。これは同軸導波管の coupling slot を 2 つ、内部を re-extract 型 cavity の T_2 とを考えられる。Fig. 4 は T_2 が compensate された時、電界分布を示す。Fig. 4 と Fig. 1(a) の内導体と外導体の間の分布は、同軸導波管の TEM mode の相違す

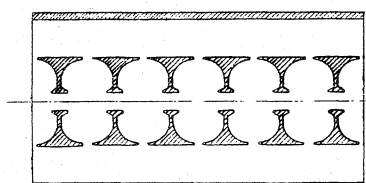
3のと、2の構造を coaxial coupled cavity と呼んでおく。これは加速室内 propagation が良い特性をもたらすからである。加速空間 (washer で囲まれた領域) 内の電界分布は、加速 mode の時 T_{M010} が主成分で $\pm 30^\circ$, washer rim における電界強度は nose cone 先端に近づくとそれより低くなる、である。一方結合 mode の時では、1 次と 2 次の mode が存在する。

CCC を compensate する場合の周波数は cell length によって決まる。この下限から下限がある。Fig. 4 に示すように、電磁界分布は加速 mode と結合 mode で $\pi/2$ の位相差がある。Fig. 1(c) に示すように washer 外壁の振動を与えた時は、それがわき周波数は逆に変化し、容易に compensate することができる。 $\pi/2$ の一例を示す。

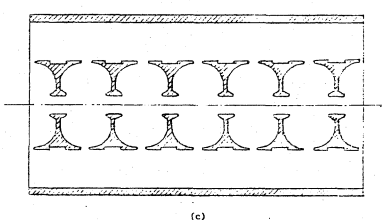
詳しく述べる題のレポート KEK-81-4 を参照して顶く。



(a)



(b)



(c)

Fig. 1 DAW (a), CCC (b) and modified CCC structure for $\beta = 1$.

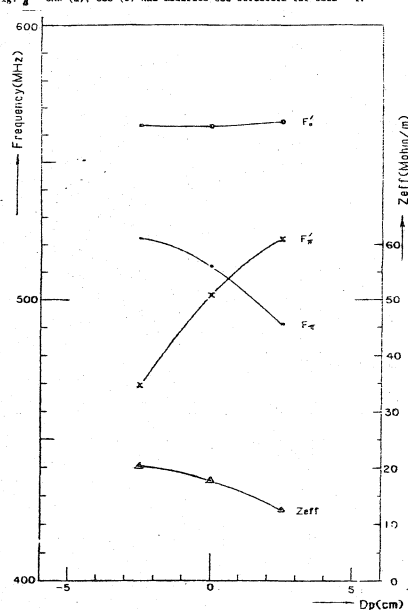


Fig. 5 Perturbation Effect of Modified CCC. $C_r = 1.25$ cm and $R_w = 24.45$ cm.

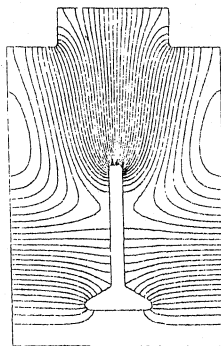


Fig. 2 Electric field pattern of the accelerating (left) and coupling (right) mode are shown for a full cell DAW cavity.

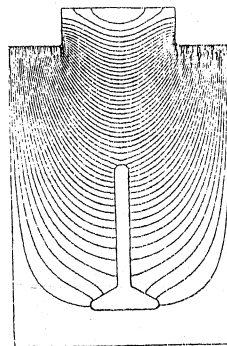


Fig. 2 Electric field pattern of the accelerating (left) and coupling (right) mode are shown for a full cell DAW cavity.



Fig. 3 Electric field pattern of the accelerating (left) and coupling (right) mode are shown for a half cell disk-polished DAW cavity. The structure is not compensated at all. The frequency is 494.4 MHz for accelerating mode and 557.0 MHz for coupling mode.

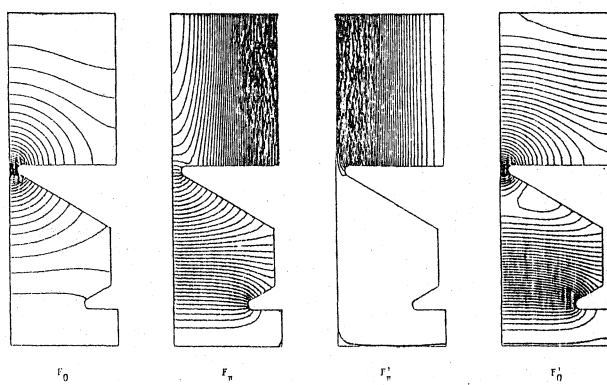
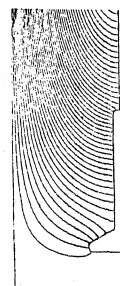


Fig. 4 Four field patterns (F_0 , F_p , F'_p and F'_0) at $C_r = 1.25$ cm and $R_w = 24.45$ cm are shown. Even though it is not at the exact coincidence, it seems that the rim separate the cavity into two regions.